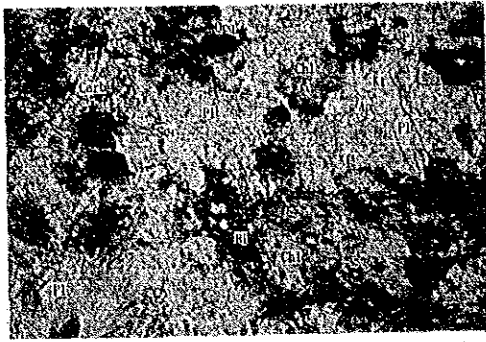


Ap. 3 薄片顯微鏡写真

No	No de muestra	Tipo de roca
(1) (2)	MJA-11A 79.10m	Monzonita
(3) (4)	MJA-11A 90.00m	Monzonita
(5) (6)	MJA-11B 50.00m	Monzonita alterada
(7) (8)	MJA-12B 14.20m	Andesita alterada
(9) (10)	MJA-13A 3.00m	Andesita alterada
(11) (12)	MJA-13A 80.14m	Monzonita
(13) (14)	MJA-14A 72.20m	Andesita alterada
(15) (16)	AB-1 1105m	Monzonita alterada
(17) (18)	AB-1 1204m	Brecho silificada
(19) (20)	AB-1 1308m	Roca silificada

Referencias

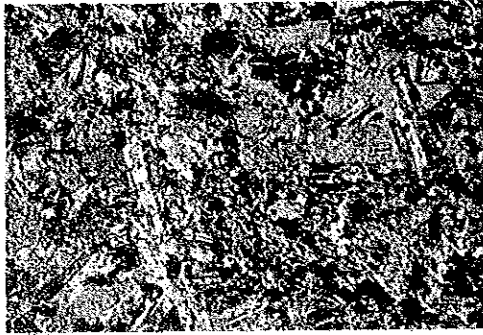
Ap	apatita
Bi	biotita
Carb	minerales de carbonato
Chl	clorita
Cpx	piroxeno
Opq	minerales de opaco
Pl	plagioclasa
Qz	cuarzo
Ser	sericita
Kf	feldespato potasico
Rf	fragmento de roca
Sp	blenda



0 0.5mm

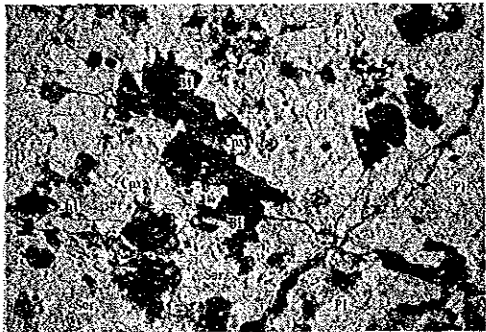
(1) MJA-11A 79.10m

Lamprófico alterada hidrotermal totalmente. Se puede observar una textura poiquilítica entre feldespato potásico y plagioclasa.



0 0.5mm

(2) MJA-11A 79.10m



0 0.5mm

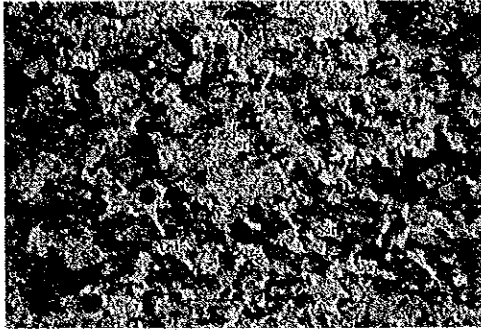
(3) MJA-11A 90.00m

Lamprófico de grano medio y holocristalina. Aún se puede observar alteración debil, desarrolla una clara textura intergranular.



0 0.5mm

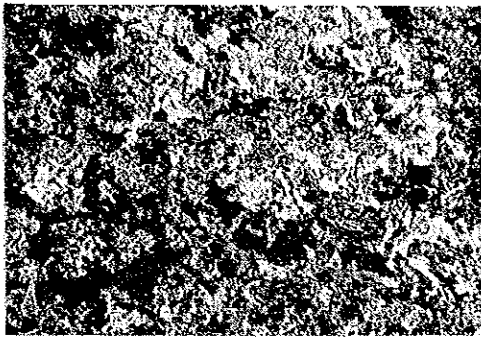
(4) MJA-11A 90.00m



0 0.5mm

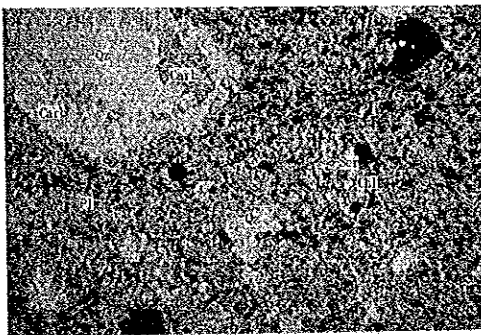
(5) MJA-11B 50.00m

Monzonita alterada que no presenta restos de mineral primario. Presencia de silicificación, sericitización, cloritización y carbonatización en abundancia.



0 0.5mm

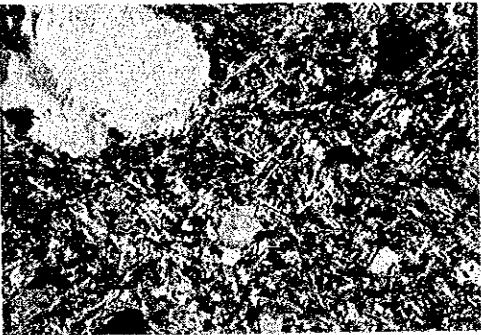
(6) MJA-11B 50.00m



0 0.5mm

(7) MJA-12B 14.20m

Andesita alterada de grano fino y compacto de textura vidriosa fluidal. Se observa alineamientos de plagioclasa en la matriz debilmente.



0 0.5mm

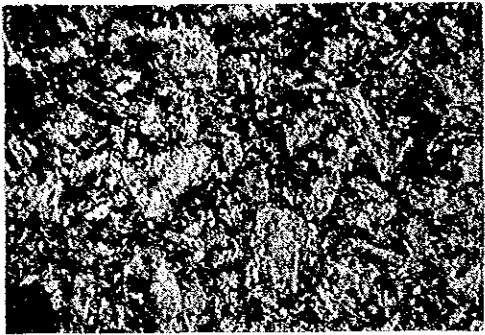
(8) MJA-12B 14.20m



0 0.5mm

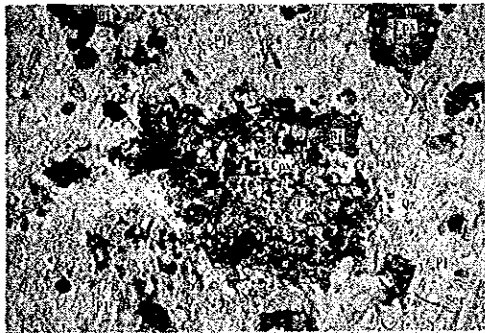
(9) MJA-13A 3.00m

Andesita alterada con fuerte cloritización y sericitificación, aunque todavía presenta una textura porfídica.



0 0.5mm

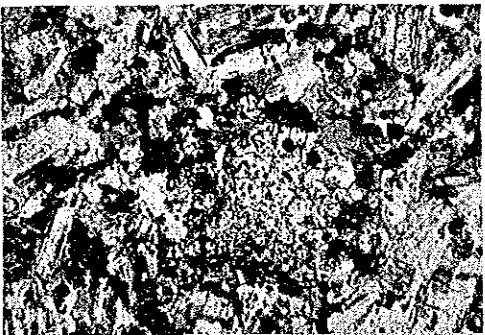
(10) MJA-13A 3.00m



0 0.5mm

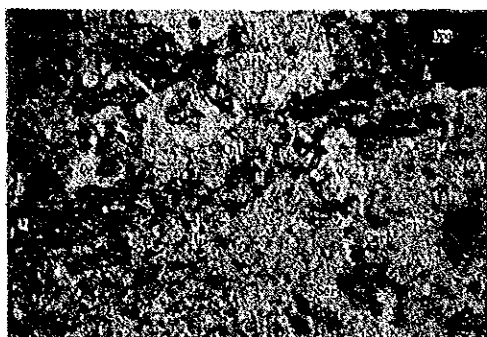
(11) MJA-13A 80.14m

Lamprófico de tamaño medio, holocristalino, textura intergranular. Presentan minerales máficos como clinopyroxeno y biotita.



0 0.5mm

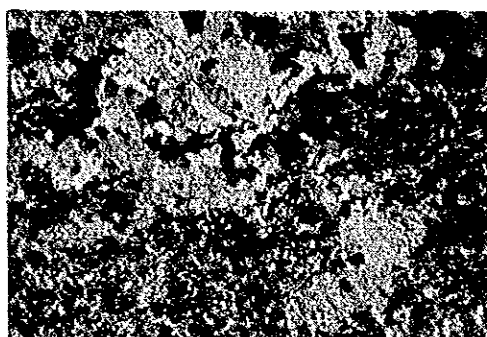
(12) MJA-13A 80.14m



0 0.5mm

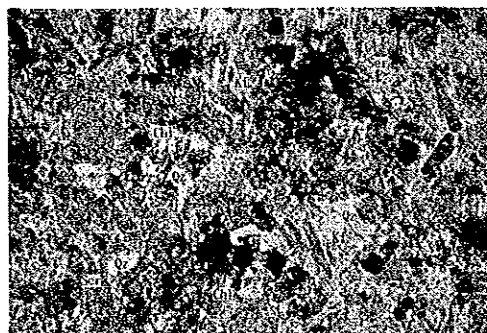
(13) MJA-14A 72.20m

Es andesita alterada hidrotermal en su totalidad aunque queda la textura original. Desarrolla vetillas de cuarzo y carbonatos.



0 0.5mm

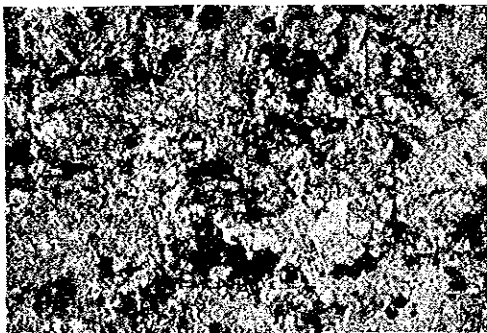
(14) MJA-14A 72.20m



0 0.5mm

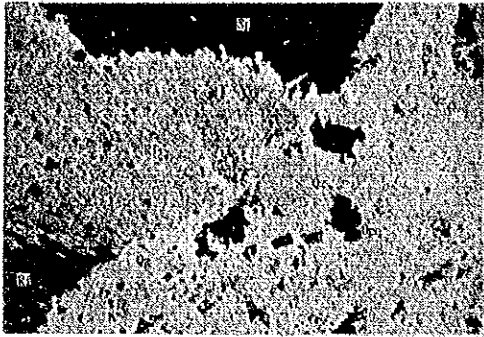
(15) AB-1 1,105m

Aunque queda la texture original, la mayoría de los minerales están reemplazados por minerales secundarios como sericita etc.



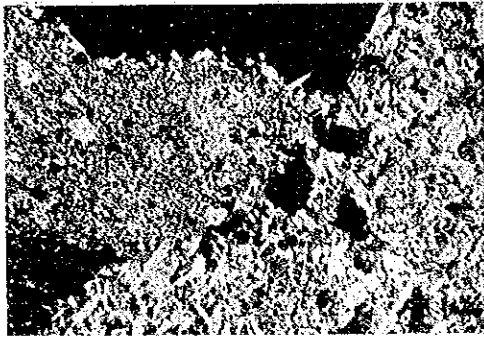
0 0.5mm

(16) AB-1 1,105m

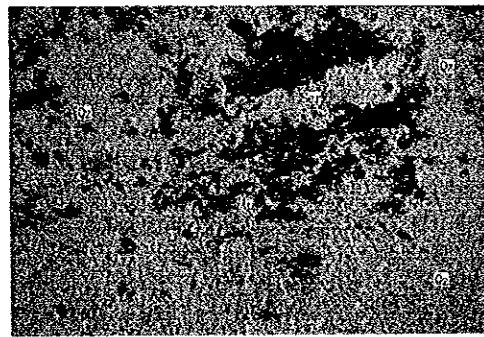


(17) AB-1 1,204m

Brecha silicificada que presenta mineralización de sulfato como blenda etc.

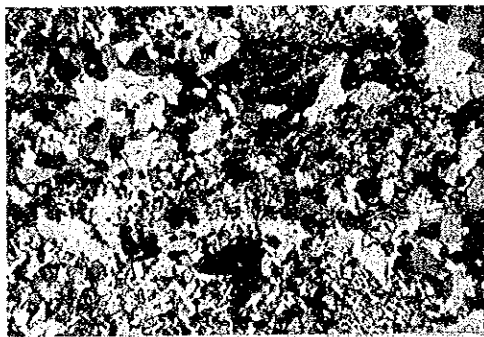


(18) AB-1 1,204m



(19) AB-1 1,308m

No se puede observar la textura de roca original y desarrolla notable silicificación. Se observa poca cantidad de minerales secundarios como sericita y clorita.



(20) AB-1 1,308m

Ap. 4 研磨片檢驗結果一覽表

No. de muestra	MJA-11A, 63.30m	MJA-11B, 29.25m	MJA-12A, 53.70m	MJA-12A, 57.60m	MJA-13A, 66.80m
Minerales Simbolo	Canti- dad	Descripción	Canti- dad	Descripción	Canti- dad
Oro nativo Au	1	2-13 μ m 5-6 gránulos		3-5 μ m diseminada	1 3-7 μ m 5-6 gránulos
Electrum El				10-20 μ m diseminada	
Argentita Arg	1	2-50 μ m diseminada una parte secundaria		5-20 μ m diseminada una parte dentro de Goe secundaria	1 5-30 μ m diseminada una parte alrededor de Sp. secundaria
Pearceita Pc					
Polibasita Poly					
Estromeyerita Stro	1	reemplazada a Cp secundaria	1	alrededor de Pc y Cv secundaria	1 alrededor de Sp secundaria
Calcocita Cc con plata					
Covelina Cv con plata	1	alrededor de Cp y Sp secundaria	1	alrededor de Pc y Cv secundaria	1 alrededor de Sp secundaria
Tetraedrita Td con plata			1	2-20 μ m diseminada	1 alrededor de Sp secundaria

Cantidad: 4 Abundante 3 Medio 2 Poco 1 Escaso

No. de muestra		MJA-13B, 35.70m		MJA-14A, 48.20m		AB-1, F377		AB-1, F395		AB-1, F485	
Minerales	Sim-bolo	Canti-dad	Descripción	Canti-dad	Descripción	Canti-dad	Descripción	Canti-dad	Descripción	Canti-dad	Descripción
Oro nativo	Au							1		1	
Electrum	El							1	3-5 μ m dentro de Py		
Argentita	Arg			1	25-35 μ m diseminada					2	alrededor de Sp secundaria
Pearceita	Pc	1	coexiste con Cp							2	10 μ m-0.2mm coexiste con Sp y Gn
Polibasita	Poly									2	10 μ m -0.2mm coexiste con Sp y Gn
Estromeyerita	Stro										
Calcocita con plata	Cc										
Covelina con plata	Cv									2	alrededor de Sp Gn y Cp secundaria

Cantidad: 4 Abundante 3 Medio 2 Poco 1 Escaso

No. de muestra	AB-1, F495		AB-1, F524		AB-1, F524			
	Minerales	Simbolo	Canti- dad	Descripción	Canti- dad	Descripción	Canti- dad	Descripción
Oro nativo	Au	1	5-15µm. diseminada dentro de Py					
Electrum	El	1	2-50µm dentro de Py y Goe		1	10-15µm coexiste con Poly y Sp		
Argentita	Arg	1	5-30µm diseminada coexiste con Py	20 m diseminada				
Pearceita	Pc							
Polibasita	Poly	1	5-30µm coexiste con Py y Cp		1	5-50µm coexiste con Cp		
Estrome- yerita	Stro							
Calcocita con plata	Cc							
Covelina con plata	Cv			reemplaza a Cp secundaria	1	reemplaza a Cp secundaria		
Tetraedrita con plata	Td				1	5-50µm coexiste con Poly		

Cantidad: 4 Abundante 3 Medio 2 Poco 1 Escaso

No. de muestra	MJA-11A, 63.30m		MJA-11B, 29.25m		MJA-12A, 53.70m		MJA-12A, 57.60m		MJA-13A, 66.80m	
Minerales	Sim- bolo	Canti- dad	Descripción	Canti- dad	Descripción	Canti- dad	Descripción	Canti- dad	Descripción	Canti- dad
Tennantita con plata	Tn									
Calcopirita	Cp	1	5-20 μ m diseminada							
Galena	Gn			1	5-25 μ m diseminada			1	15 μ m un gránulo	
Esfalerita	Sp			1	5-25 μ m diseminada			2	20-70 μ m diseminada	
Pirita	Py	1	5-20 μ m idiomorfo diseminada	1	5-25 μ m idiomorfo diseminada			1	10-100 μ m idiomorfo diseminada	
Oxido de manganeseo	Mn	2						2		
Mineral de Ag-Fe-S	Ag-Fe	1	reemplazada a Cp secundaria							
Goethita	Goe							1	reemplazada a Cp secundaria	

Cantidad: 4 Abundante 3 Medio 2 Poco 1 Escaso

No. de muestra		MJA-13B, 35.70m		MJA-14A, 48.20m		AB-1, F377		AB-1, F395		AB-1, F485	
Minerales	Sim-bolo	Canti-dad	Descripción	Canti-dad	Descripción	Canti-dad	Descripción	Canti-dad	Descripción	Canti-dad	Descripción
Tetraedrita con plata	Td									2	10µm-0.1mm coexiste con Sp, Gn y Cp
Tennantita con plata	Tn									2	10µm-0.1mm coexiste con Sp, Gn y Cp
Calcopirita	Cp	2	5µm-0.5mm diseminada	2	coexiste con Cp	1	5-10µm 2 gránulos			2	10µm-0.1mm coxite con Sp
Galena	Gn	2	5µm-0.5mm diseminada	1	20-50µm dentro de Py			2	alrededor y dentro de Py	3	10µm-0.2mm coexiste con Sp
Esfalerita	Sp	2	5µm-0.5mm diseminada	2	50µm-0.2mm diseminada			2	alrededor y dentro de Py	3	20-1.0mm diseminada
Pirita	Py	2	5µm-0.5mm idiomórfico diseminada	3	5µm-0.5mm idiomórfico diseminada			2	5µm-0.5mm idiomórfico diseminada	3	10µm-0.5mm idiomórfico diseminada
Oxido de manganeso	Mn							2			
Mineral de Ag-Fe	Ag-Fe										
Goethita	Goe										

Cantidad: 4 Abundante 3 Medio 2 Poco 1 Escaso

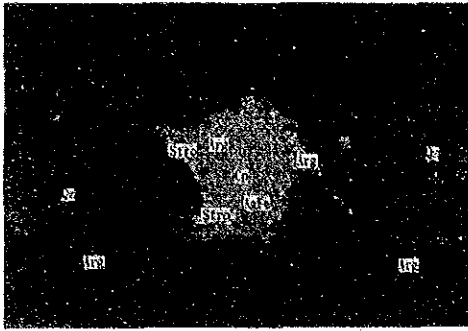
No. de muestra	AB-1, F495		AB-1, F524		AB-1, F524		Canti- dad	Descripción
	Canti- dad	Descripción	Canti- dad	Descripción	Canti- dad	Descripción		
Tennantita con plata								
Calcopirita	2	5-50 μ m diseminada	2	5-50 μ m diseminada	2	5 μ m-0.2mm diseminada		
Galena					2	5 μ m-0.2mm diseminada		
Esfalerita			1	10 μ m-0.2mm coexiste con CP	2	5 μ m-0.2mm diseminada		
Pirita	2	5-50 μ m idiomórfico diseminada	2	5-50 μ m idiomórfico diseminada	2	5 μ m-0.2mm idiomórfico diseminada		
Oxido de manganeseo	2				1			
Mineral de Ag-Fe- S								
Goethita	1	reemplaza a Py(?) secundaria						

Cantidad: 4 Abundante 3 Medio 2 Poco 1 Escaso

Ap. 5 研磨片顯微鏡写真

Referencias

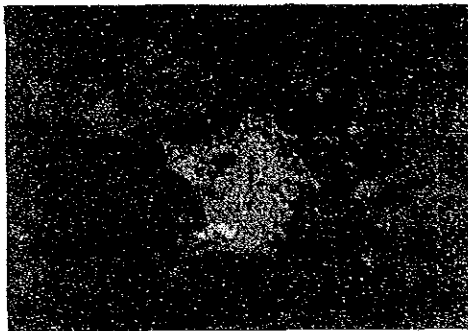
Au	: Oro nativo	Pc	: Pearceita
Bl	: Electrum	Rh	: Rodocrosita
Arg	: Argentita	Stro	: Estomeyerita
Poly	: Polibasita	Tn	: Tennantita
Td	: Tetraedrita	Qz	: Cuarzo
Cc	: Calcosena	Cal	: Calcita
000	: Galena		
Sp	: Blenda		
Cp	: Calcopirita		
Cv	: Covellina		
Mn	: Oxidos de mangneso		
Py	: Pirita		
Goe	: Goethita		
AgFe	: Mineral de Ag-Fe-S		
G	: Mineral de gonga		
Man	: Manganita		
Pyr	: Pirolusita		



(1) MJA-11A 63.30m

Mineral de Ag-Fe-S,
argentita y estromeyerita reemplazan a
calcopirita.
Area de EMPA No. 1.

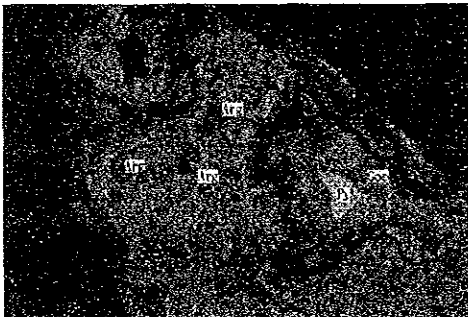
0 0.04mm



(2) MJA-11A 63.30m

Fotomicrografías de
aguafuerte ligera lo
mismo que arriba
Argentita cambio su color
a marrón-negro por
aguafuerte ligera.

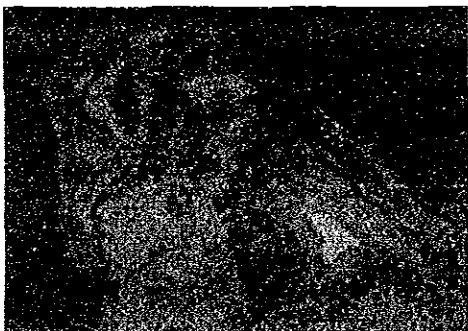
0 0.04mm



(3) MJA-12A 57.60m

Argentita reemplaza a
pirita en goethita.

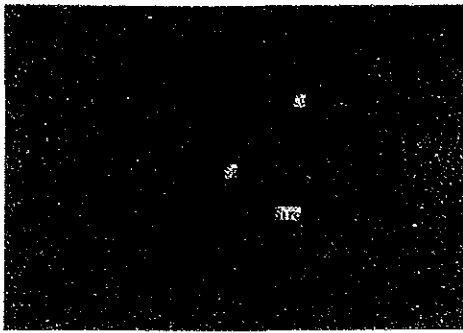
0 0.04mm



(4) MJA-12A 57.60m

Fotomicrografías de
aguafuerte ligera lo mismo
que arriba. Argentita
cambió su color a marrón
por aguafuerte ligera.

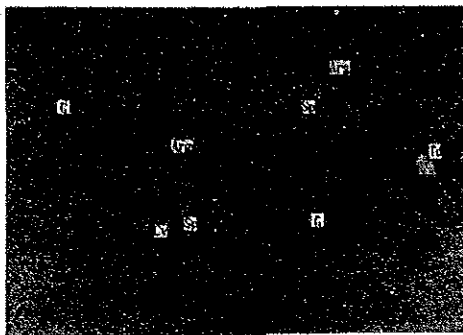
0 0.04mm



0 0.04mm

(5) MJA-13A 66.80m

Estromeyerita y calcocita
con plata se envuelve a
blenda.
Area de EPMA No. 5.



0 0.1mm

(6) MJA-13A 66.80m

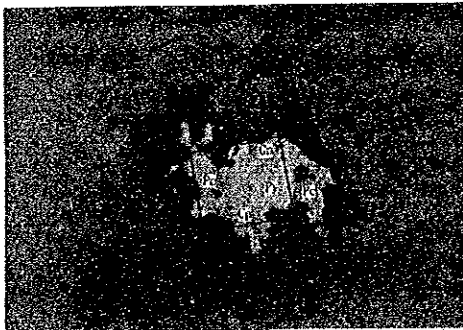
Argentita y covelina con
plata se envuelve a
blenda.



0 0.2mm

(7) MJA-13A 66.80m

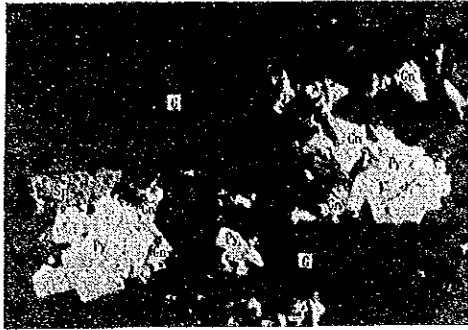
Galena y blenda en
pirita.



0 0.1mm

(8) MJA-13B 35.70m

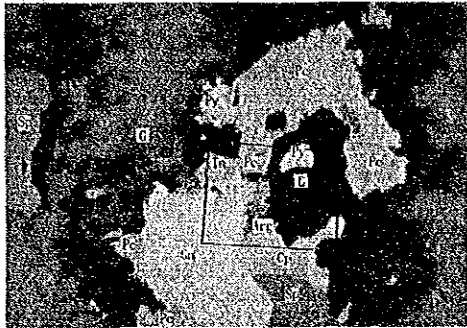
Calcopirita, pearceita (?)
y galena se presentan
alrededor de pirita.
Area de EPMA No. 6.



0 0.2mm

(9) MJA-13B 35.70m

Galena y blenda se presentan alrededor de pirita.

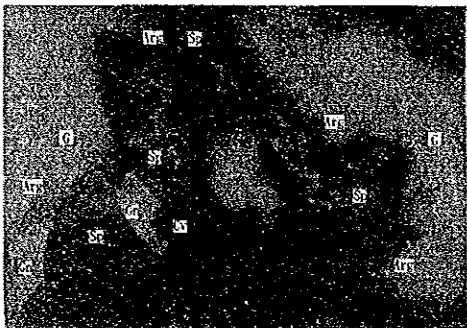


0 0.1mm

(10) AB-1 F-485

Pearceita (?), tennantita con plata y argentita coexisten con galena, calcopirita y blenda.

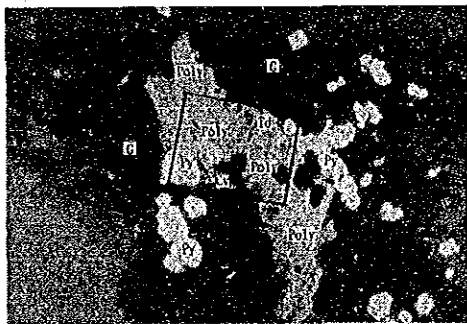
Area de EPMA No. 9.



0 0.04mm

(11) AB-1 F-485

Argentita y covelina circundan alrededor de blenda y galena como una membrana.

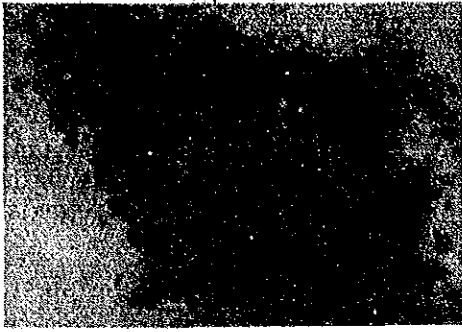


0 0.1mm

(12) AB-1 F-485

Polibasita, tetraedrita con plata y covelina con plata existen alrededor de pirita.

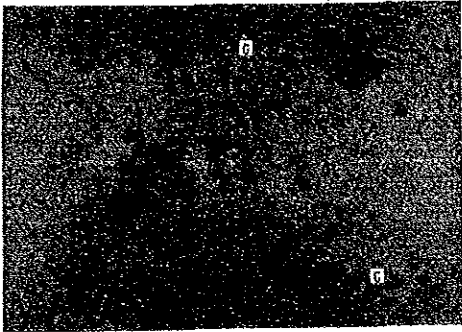
Area de EPMA No. 10.



0 0.1mm

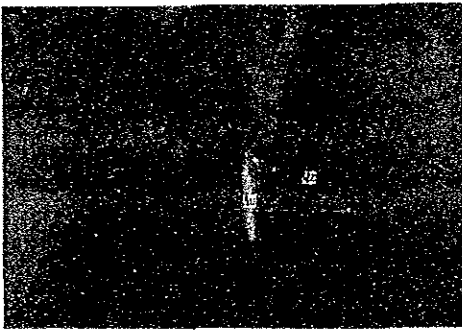
(13) AB-1 F-485

Fotomicrografías de
nicoses cruzados lo
mismo que arriba. Poli-
basita presenta anisotro-
pismo.



0 0.2mm

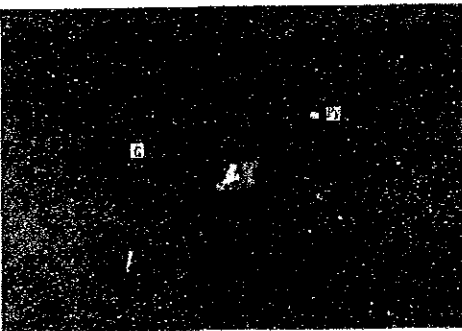
(14) AB-1 F-495



0 0.2mm

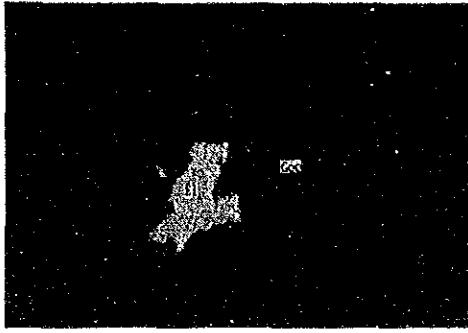
(15) AB-1 F-495

Ampliación del cuadro
indicado arriba. Oro
nativo de tamaño de mas
o menos $15\mu\text{m}$ en
cuarzo.
Area de EPMA No. 11.



0 0.2mm

(16) AB-1 F-495



0 0.04mm

(17) AB-1 F-495

Ampliación dentro de
cuadro indicado arriba.
Electrum de tamaño de mas
o menos $50\mu\text{m}$. coexiste
con goethita.

Ap. 6 EPMA試驗結果

No.	No. de muestra	Resultados de los analisis
1	MJA-11A 63.30 ^m	Argentita (Ag ₂ S) y mineral de Ag-Fe-S, estromeyerita ((CuAg) 2S) están reemplaza a calcopirita (CuFeS ₂) en cuarzo (SiO ₂).
2	MJA-11B 29.25 ^m	Covellina con plata (CuS) y estromeyerita ((CuAg) 2S) están reemplazados a pearceita(?) (8(Ag, Cu) 2S As ₂ S ₃).
3	MJA-12A 53.70 ^m	Según los análisis de plano efectuados por microsonda electrónica de dos tipos de óxido de manganeso sólo se detectaron manganeso, por otro lado se puede asumir la presencia de manganita (MnOOH) y pirolusita (MnO ₂) de acuerdo a los análisis de microscopia.
4	MJA-12A 57.60 ^m	Oro argental (AuAg) en ganga.
5	MJA-13A 66.80 ^m	Altededor de blenda (ZnS) esta cubierta por estromeyerita ((Cu, Ag) 2S) y calcocita con plata (Cu ₂ S).
6	MJA-13B 35.70 ^m	Altededor de pirita (FeS ₂) está cubierto por calcopirita (CuFeS ₂), pearceita (?) (8(Ag.Cu)2S As ₂ S ₃), galena (PbS), y, blenda (ZnS).
7	AB-1 F377	Argentita (Ag ₂ S).
8	AB-1 F395	Oro argental (AuAg) en pirita (FeS ₂).
9	AB-1 F485	Pearceita (?) (8(Ag.Cu)2S As ₂ S ₃) y tetrahedrita arsénica con plata (5Cu ₂ S.2(Cu, Zn)S.2As ₂ S ₃), argentita (Ag ₂ S), óxido de plomo y arsénica (?) coexisten con galena (PbS) y calcopirita (CuFeS ₂).
10	AB-1 F485	Existen polibasita (8(Cu, Ag)2S.(Sb, As)2S ₃) y tetrahedrita con plata (5Cu ₂ S.2(Cu Zn)S.(Sb, As) 2S) ₃ , covellina con plata (CuS) alrededor de pirita (FeS ₂).
11	AB-1 F495	Oro nativo (Au) en cuarzo (SiO ₂).
12	AB-1 F524	Polibasita (8(Cu, Ag)2S.(Sb, As) 2S ₃) y oro argental (Au, Ag) coexisten con calcopirita (CuFeS ₂).

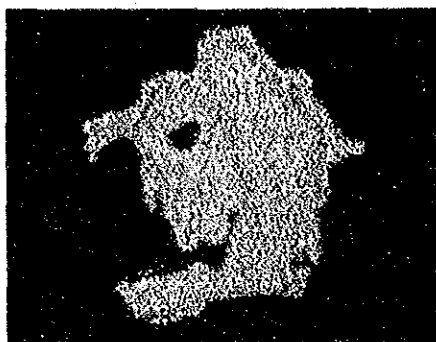
Referencias

Au	: Oro nativo	Pc	: Pearceita
El	: Electrum	Rh	: Rodocrosita
Arg	: Argentita	Stro	: Estomeyerita
Poly	: Polibasita	Tn	: Tennantita
Td	: Tetraedrita	Qz	: Cuarzo
Cc	: Calcosena	Cal	: Calcita
000	: Galena		
Sp	: Blenda		
Cp	: Calcopirita		
Cv	: Covellina		
Mn	: Oxidos de mangneso		
Py	: Pirita		
Goe	: Goethita		
AgFe	: Mineral de Ag-Fe-S		
G	: Mineral de gonga		
Man	: Manganita		
Pyr	: Pirolusita		

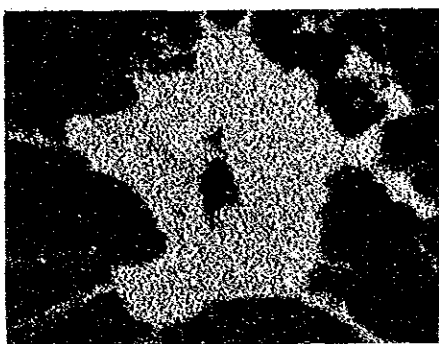
No. 1 MJA-11A 63.30m



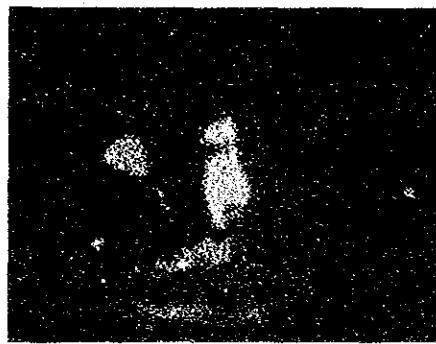
Microscopio electrónico



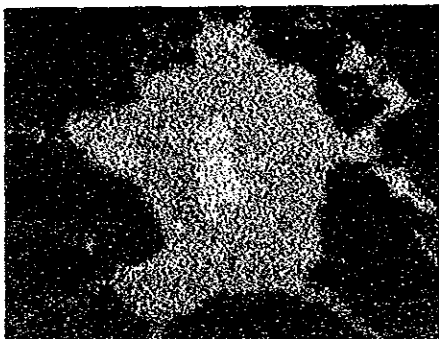
Fe



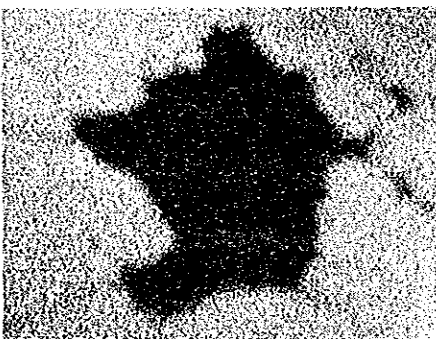
Ag



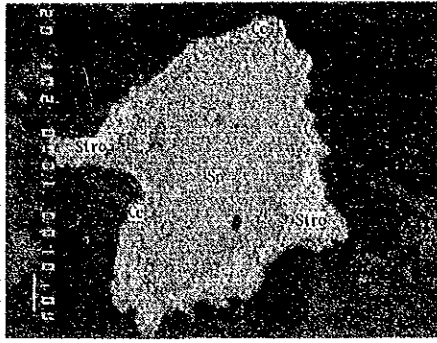
Cu



S



Si



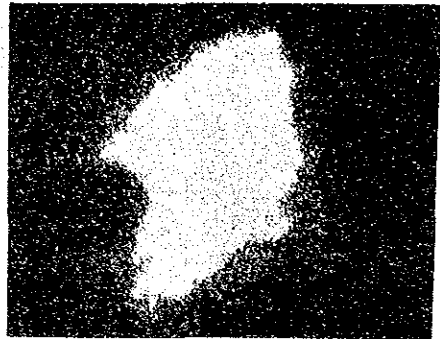
Microscopio electrónico



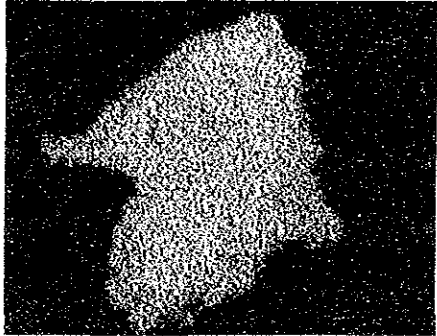
Cu



Ag



Zn



S



Microscopio electrónico



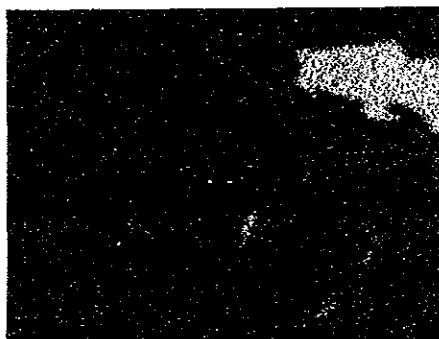
Cu



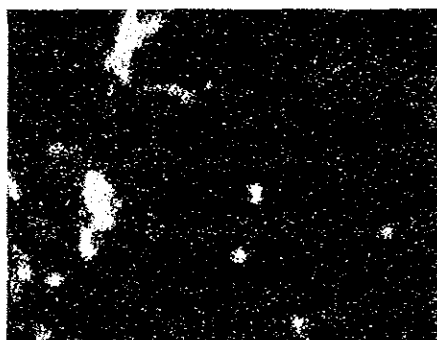
Ag



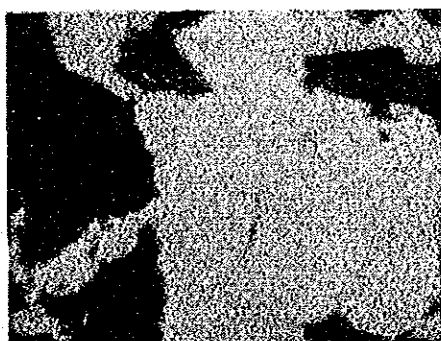
As



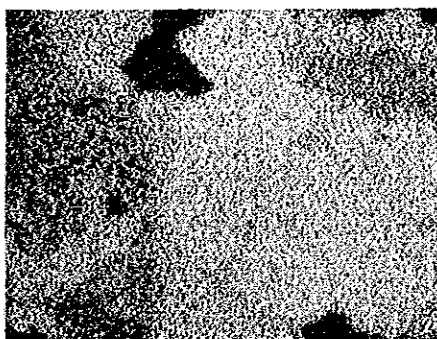
Pb



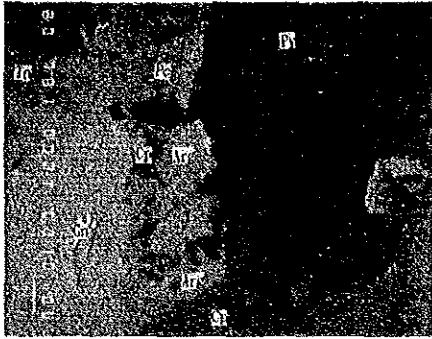
Zn



Fe



S



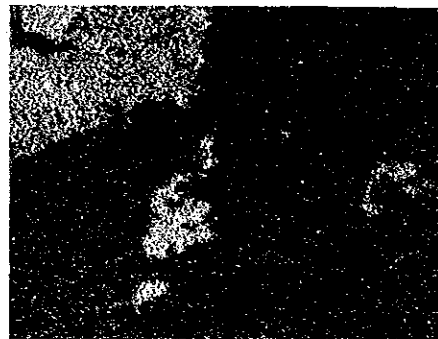
Microscopio electrónico



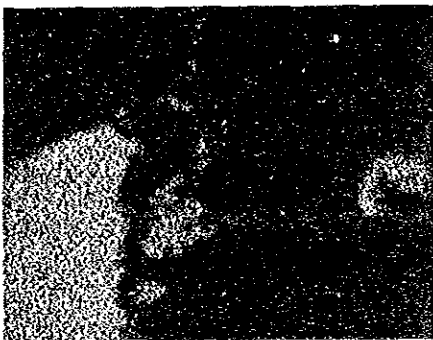
Cu



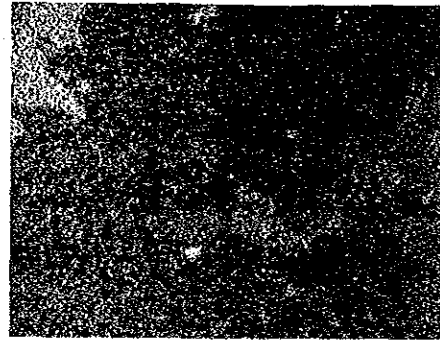
Ag



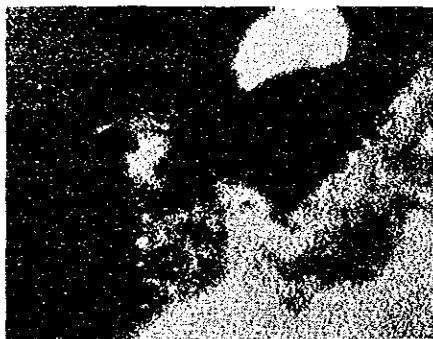
As



Pb



Zn

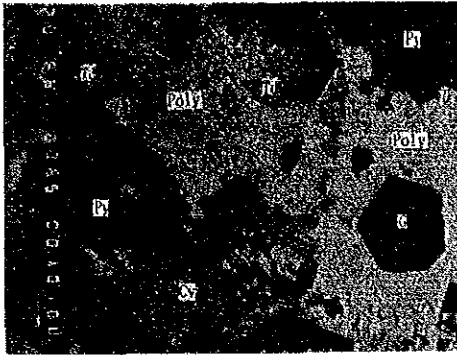


Fe

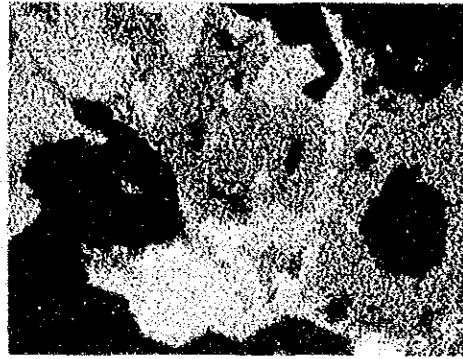


S

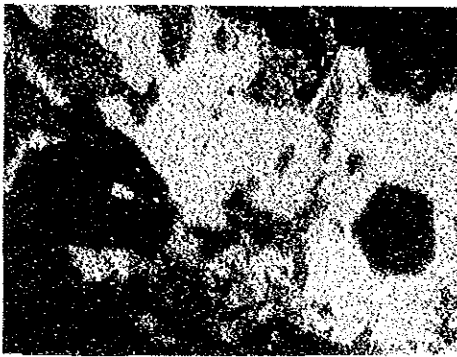
No. 10 AB-1 F-485



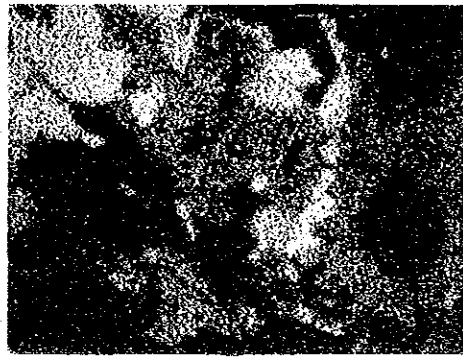
Microscopio electrónico



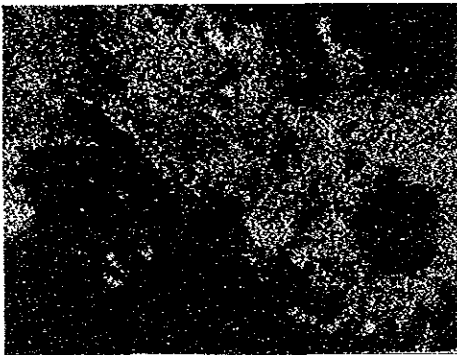
Cu



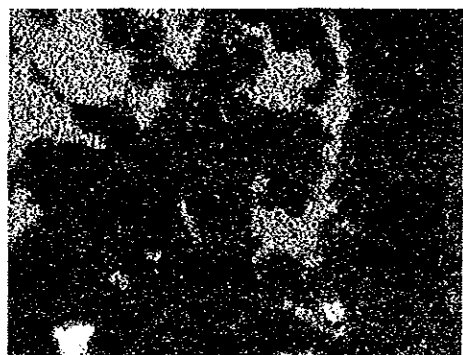
Ag



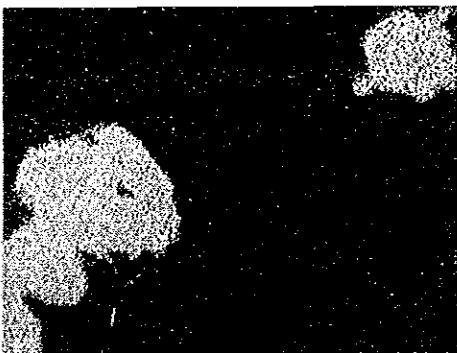
Sb



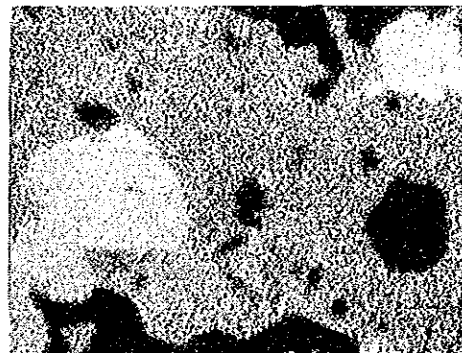
As



Zn



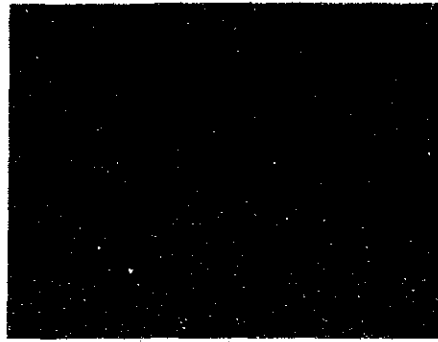
Fe



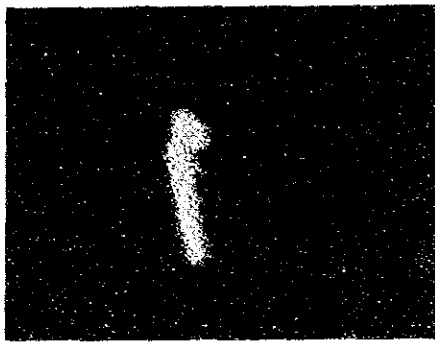
S



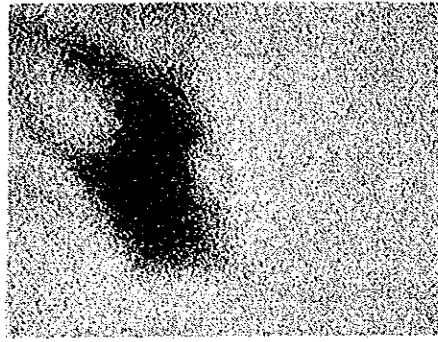
Microscopio electrónico



Ag



Au



Si

Ap. 7 X線回折結果一覽表

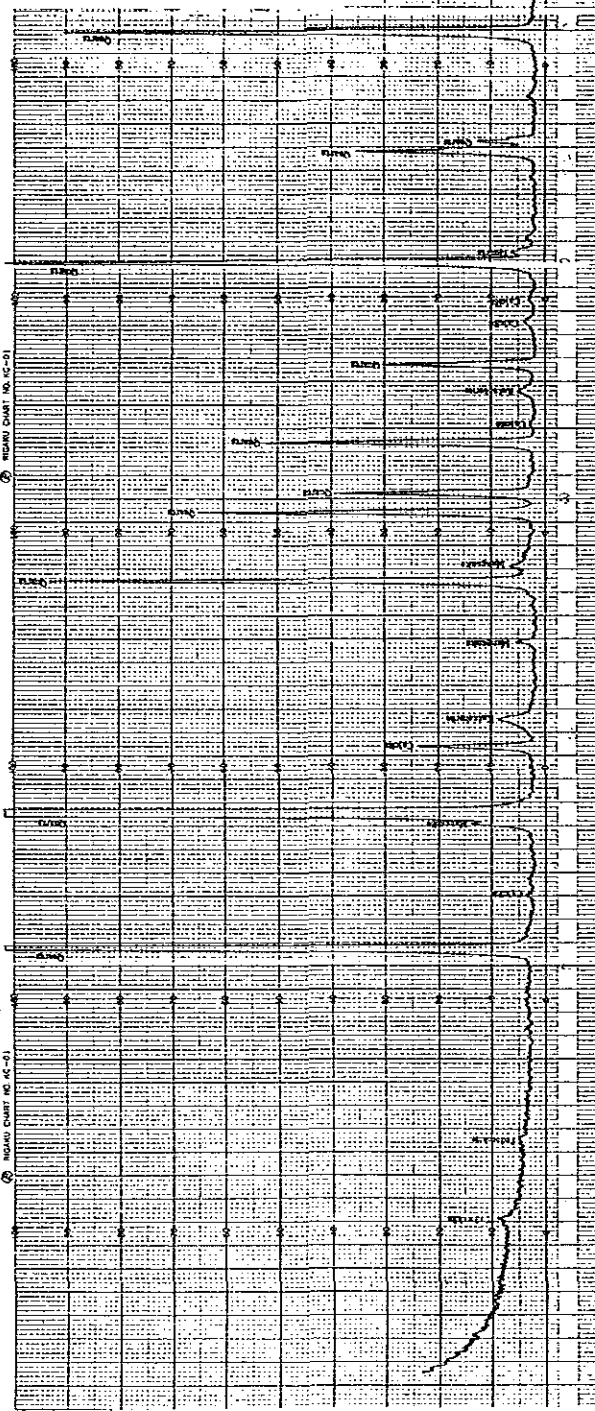
No.	No. de muestra	Minerales		Cuarzo	Ca l c i t a	Ku t n a h o r i t e	Y e s o	T o d o r o h i l e	P i r o l u s i t a	M a n g a n i t a	B l e n d a	G a l e n a	T e t r a e d r i t a	P o l i b a s i t a	C e r u s i t a	P i r i t a
		Tipo de roca														
1	AR-1 F-377	Veta Cuarzo	4	2				2	2	2						
2	AB-1 F-459	idem	4				2			2						
3	AB-1 F-485	idem	4								3	8	2	1	1	1
4	AB-1 F-495	idem	4	3		3	2	1								
5	AB-1 F-500	idem	4	2		2		1		1						
6	AB-1 F-524	idem	4	3		2		1								

Cantidad : 4 Abundante 3 Medio 2 Poco 1 Escaso

Ap. 8 X線回折チャート

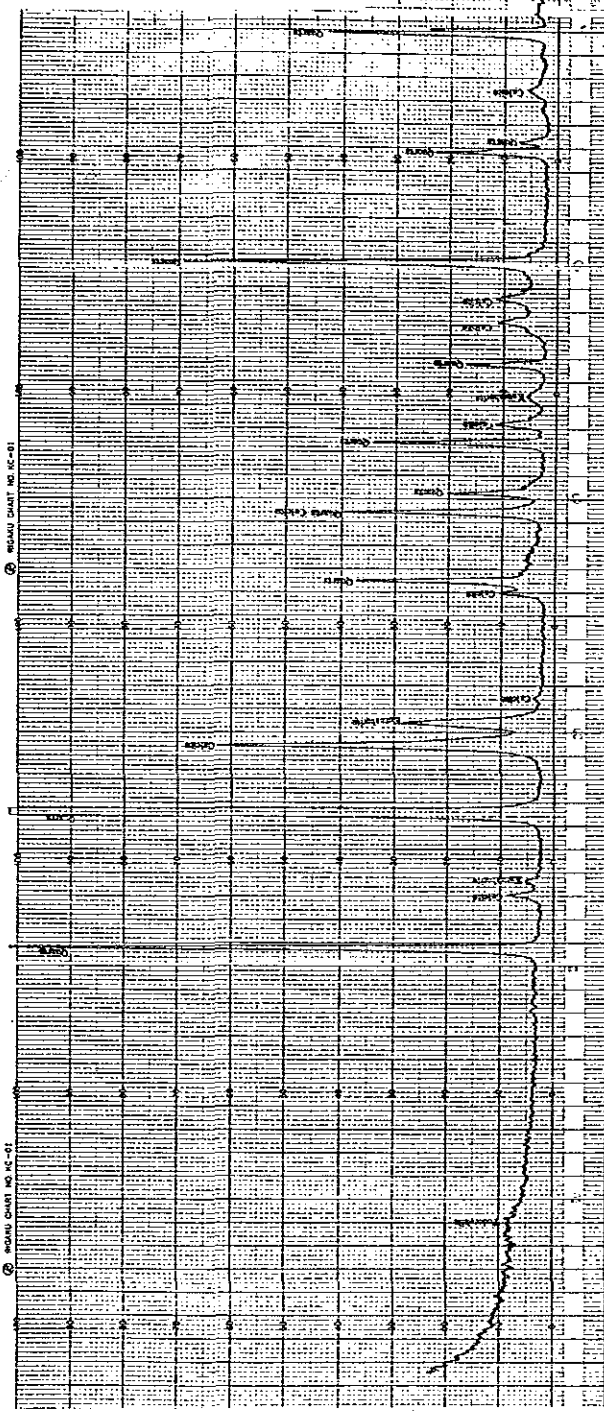
X-RAY DIFFRACTOMETER

Sample Number	Al-1 1999
TARGET	Co
Filter	40 μV
Wavelength	150 μm
Current	400 CPS
Full Scale Range	0.5 sec
Time Constant	4" / 100
Scanning Speed	4 mm/min
Chart Speed	1"
Displacement	0.15 mm
Resolution slit	S.C.
Detector	S.C.
Date	3. 1960



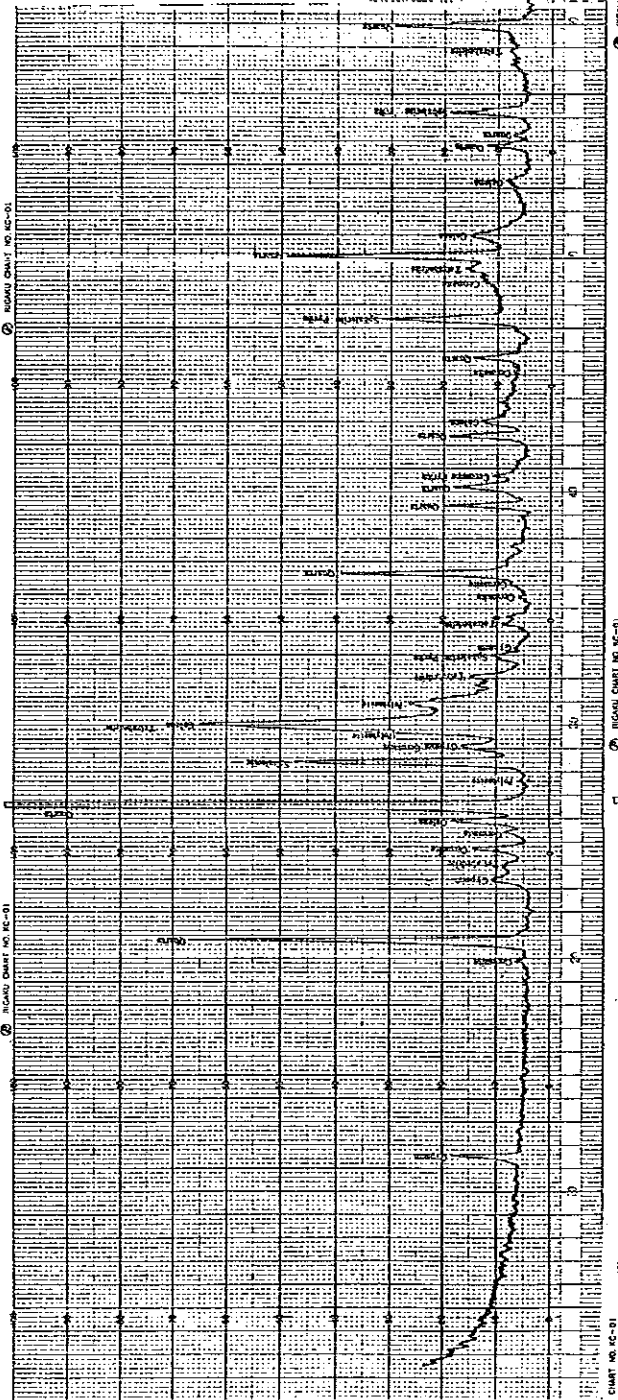
X-RAY DIFFRACTOMETER

Sample Number	Al-1 1928
TARGET	Co
Filter	40 μV
Wavelength	150 μm
Current	400 CPS
Full Scale Range	0.5 sec
Time Constant	4" / 100
Scanning Speed	4 mm/min
Chart Speed	1"
Displacement	0.15 mm
Resolution slit	S.C.
Detector	S.C.
Date	3. 1960



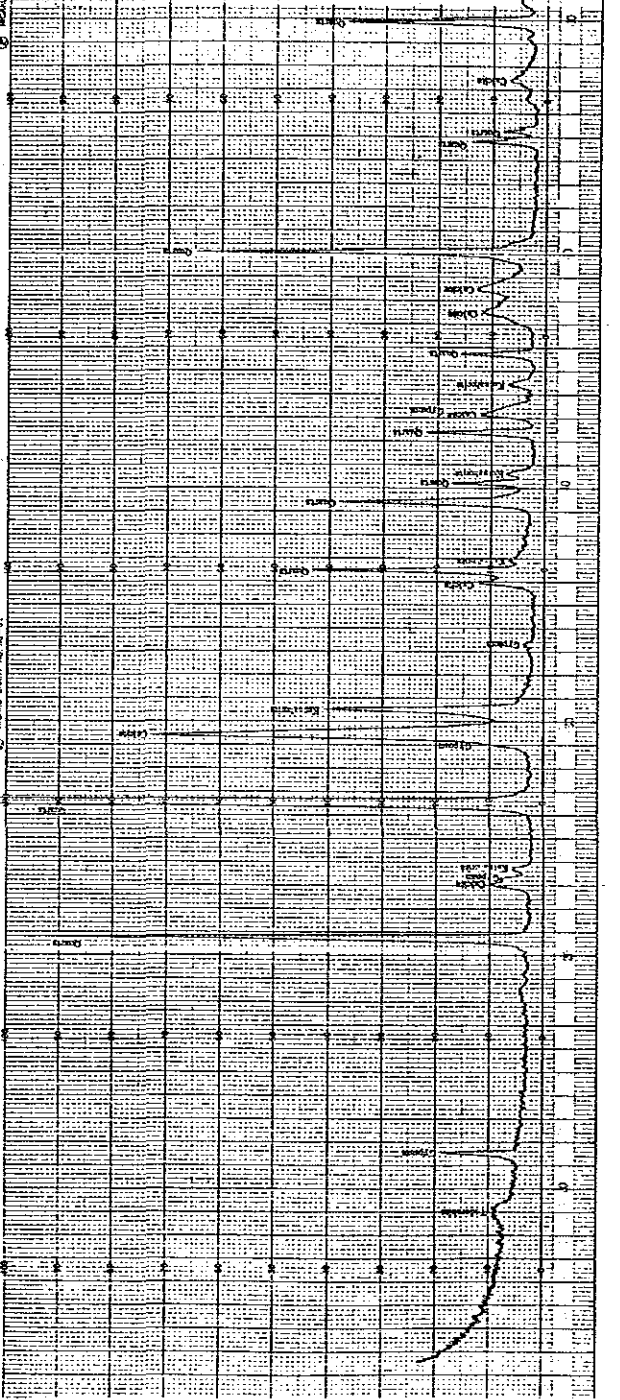
X-RAY DIFFRACTOMETER

Sample Number	4517-103
Target	Co
Filter	48.1K
Voltage	150 v
Current	4000 CPS
Fil Scale Range	0.2 sec
Time Constant	4" / Min
Scanning Speed	1"
Chart Speed	0.15 cm
Wavelength	5.0
Receiving slit	5.0
Detector	5.0
Date	3. 1960



X-RAY DIFFRACTOMETER

Sample Number	4517-103
Target	Co
Filter	48.1K
Voltage	150 v
Current	4000 CPS
Fil Scale Range	0.2 sec
Time Constant	4" / Min
Scanning Speed	1"
Chart Speed	0.15 cm
Wavelength	5.0
Receiving slit	5.0
Detector	5.0
Date	3. 1960



Ap. 9 鉍石化学分析結果一覽表

No.	Numero de Muestra	Profundidad (m)	Longitud de Muestreo (m)	Au (g/t)	Ag (g/t)	Mn (%)
1	MJA-11A-1	58.05~59.05	1.00	1.3	15	6.3
2	2	59.05~60.05	1.00	2.9	16	5.7
3	3	60.05~61.05	1.00	0.7	33	15.9
4	4	61.05~62.60	1.55	1.1	37	19.5
5	5	62.60~63.60	1.00	0.7	36	4.4
6	6	63.60~64.60	1.00	6.6	159	10.6
7	7	64.60~65.60	1.00	0.9	31	5.5
8	8	65.60~66.60	1.00	0.5	26	2.5
9	9	66.60~67.60	1.00	1.3	49	7.1
10	10	67.60~69.00	1.40	2.4	38	6.7
11	11	69.00~70.00	1.00	0.3	20	5.9
12	12	70.00~71.00	1.00	0.4	21	7.0
13	13	71.00~72.00	1.00	4.1	88	8.6
14	14	72.00~73.00	1.00	3.1	88	8.1
15	15	73.00~74.20	1.20	2.5	37	8.0
16	16	74.20~77.80	3.60	0.58	8	3.6
17	17	77.80~78.80	1.00	0.76	7.3	7.7
18	MJA-11B-1	25.10~26.60	1.50	3.1	216.3	7.9
19	2	26.60~27.60	1.00	0.46	27	8.5
20	3	27.60~28.60	1.00	1.3	28.5	7.9
21	4	28.60~29.60	1.00	7.6	45.4	7.4
22	5	29.60~30.60	1.00	3.8	24	15.7
23	6	30.60~31.60	1.00	2.5	38	11.0
24	7	31.60~32.60	1.00	0.4	42	13.5
25	8	32.60~33.60	1.00	1.1	29	7.9
26	9	33.60~34.60	1.00	1.5	42	14.9
27	10	34.60~35.60	1.00	0.6	23	8.1
28	11	35.60~36.60	1.08	1.4	47	8.7

No.	Numero de Muestra	Profundidad (m)	Longitud de Muestreo (m)	Au (g/t)	Ag (g/t)	Mn (%)
29	MJA-11B-12	36.60~37.50	0.90	0.4	27	11.9
30	13	37.50~38.70	1.20	1.9	89	6.2
31	14	38.70~41.00	2.30	0.4	12	5.8
32	15	41.00~41.80	0.80	0.4	6	4.7
33	16	41.80~42.90	1.10	0.7	32	6.0
34	MJA-12A-1	37.60~38.55	0.95	1.1	24	3.5
35	2	50.30~53.10	2.80	2.0	56	8.8
36	3	53.10~54.20	1.10	22.5	144	13.2
37	4	54.20~55.40	1.20	3.4	242	9.6
38	5	55.40~56.40	1.00	1.3	135	11.2
39	6	56.40~57.40	1.00	4.7	365	6.5
40	7	57.40~58.00	0.60	25.9	526	6.9
41	8	58.00~59.00	1.00	1.8	54	6.3
42	9	59.00~60.00	1.00	1.4	37	7.2
43	10	60.00~61.00	1.00	3.9	116	5.5
44	11	61.00~62.15	1.15	3.1	53	6.9
45	12	62.15~62.80	0.65	3.4	134	3.1
46	13	62.80~64.80	2.00	1.6	14	3.0
47	14	64.80~66.80	2.00	2.1	12	2.8
48	15	66.80~67.80	1.00	12.1	37	6.7
49	16	67.80~68.80	1.00	0.54	81	5.0
50	17	68.80~69.80	1.00	0.64	5.5	6.0
51	18	69.80~71.20	1.40	0.52	26	6.4
52	MJA-12B-1	15.70~16.40	0.70	0.3	9	4.6
53	2	29.80~32.50	2.70	2.8	71	5.0
54	3	32.50~33.50	1.00	0.7	27	6.6
55	4	33.50~34.50	1.00	2.7	84	6.0
56	5	34.50~35.50	1.00	0.5	34	6.3
57	6	35.50~36.50	1.00	2.3	54	8.1
58	7	36.50~37.50	1.00	0.4	7	5.9
59	8	37.50~38.50	1.00	0.2	8	7.6
60	9	38.50~39.20	0.70	0.2	11	6.5
61	10	39.20~40.25	1.05	3.7	44	5.2

No.	Numero de Muestra	Profundidad (m)	Longitud de Muestreo (m)	Au (g/t)	Ag (g/t)	Mn (%)
62	MJA-13A-1	29.65~30.80	1.15	0.5	58	9.4
63	2	30.80~32.00	1.20	4.3	80	7.2
64	3	32.00~33.30	1.30	1.3	57	7.4
65	4	33.30~34.45	1.15	1.1	57	8.6
66	5	34.45~35.60	1.15	2.0	18	9.8
67	6	35.60~37.40	1.80	1.4	28	6.0
68	7	37.40~40.00	2.60	0.1	3	3.9
69	8	40.00~42.20	2.20	0.3	5	4.6
70	9	42.20~43.20	1.00	0.2	7	9.1
71	10	43.20~44.20	1.00	1.6	29	9.7
72	11	44.20~45.20	1.00	0.1	5	7.8
73	12	45.20~46.20	1.00	0.1	5	7.3
74	13	46.20~47.20	1.00	0.3	5	7.6
75	14	47.20~48.90	1.70	0.5	10	7.5
76	15	48.90~49.90	1.00	0.1	7	3.4
77	16	49.90~50.90	1.00	0.1	4	7.2
78	17	50.90~51.90	1.00	0.5	12	9.4
79	18	51.90~53.20	1.30	0.5	13	5.8
80	19	53.20~54.20	1.00	0.1	3	7.5
81	20	54.20~55.20	1.00	0.1	8	5.2
82	21	55.20~56.20	1.00	0.6	41	5.9
83	22	56.20~57.30	1.10	6.4	97	6.4
84	23	57.30~58.30	1.00	0.5	16	7.1
85	24	58.30~59.30	1.00	2.7	29	5.3
86	25	59.30~60.30	1.00	0.9	46	9.1
87	26	60.30~61.30	1.00	0.2	9	7.4
88	27	61.30~62.30	1.00	1.3	72	10.3
89	28	62.30~63.30	1.00	0.1	4	8.0
90	29	63.30~64.30	1.00	0.3	10	8.3
91	30	64.30~65.80	1.50	0.2	8	8.0
92	31	65.80~66.80	1.00	1.6	36	11.8
93	32	66.80~67.80	1.00	6.6	95	9.4
94	33	67.80~68.80	1.00	1.6	38	6.7

No	Numero de Muestra	Profundidad (m)	Longitud de Muestreo (m)	Au (g/t)	Ag (g/t)	Mn (%)
95	MJA-13A-34	68.80~69.80	1.00	2.6	72	9.4
96	35	69.80~71.00	1.20	2.2	64	11.2
97	36	71.00~73.20	2.20	0.6	24	6.1
98	MJA-13B-1	17.90~18.90	1.00	1.1	94	6.6
99	2	18.90~19.75	0.85	2.1	164	11.6
100	3	19.75~22.70	2.95	0.5	6	2.7
101	4	22.70~23.70	1.00	0.5	10	10.0
102	5	23.70~24.70	1.00	0.4	5	8.4
103	6	24.70~25.70	1.00	0.1	2	9.9
104	7	25.70~26.70	1.00	0.2	3	8.8
105	8	26.70~27.70	1.00	0.1	2	8.7
106	9	27.70~28.70	1.00	0.2	3	7.7
107	10	28.70~29.70	1.00	0.3	8	7.6
108	11	29.70~31.00	1.30	0.9	45	9.6
109	12	31.00~33.40	2.40	0.8	14	4.2
110	13	33.40~34.40	1.00	3.0	130	7.9
111	14	34.40~35.40	1.00	5.0	96	8.3
112	15	35.40~36.55	1.15	14.4	327	7.1
113	16	36.55~37.40	0.85	1.7	27	6.4
114	17	37.40~38.30	0.90	2.9	183	8.8
115	18	38.30~39.00	0.70	1.0	35	2.1
116	19	39.00~40.10	1.10	1.7	64	14.1
117	20	40.10~41.75	1.65	0.3	5	3.8
118	21	41.75~42.80	1.15	1.3	41	11.8
119	MJA-14A-1	25.30~25.90	0.60	0.1	3	6.4
120	2	39.40~39.90	0.50	0.3	6	3.0
121	3	41.50~42.40	0.90	1.0	109	8.8
122	4	47.60~48.30	0.70	6.0	139	4.5
123	5	50.60~51.50	0.90	0.5	11	3.6
124	6	51.50~54.50	3.00	0.5	18	1.6
125	7	54.50~57.50	3.00	0.1	26	1.1
126	8	57.50~59.40	1.90	0.5	32	2.3
127	9	59.40~60.40	1.00	0.2	10	2.3

No	Numero de Muestra	Profundidad (m)	Longitud de Muestreo (m)	Au (g/t)	Ag (g/t)	Mn (%)
128	MJA-14A-10	60.40~61.40	1.00	4.1	18	5.7
129	11	61.40~62.65	1.25	1.2	12	5.2
130	12	62.65~63.80	1.25	0.5	11	2.7
131	13	66.20~67.20	1.00	1.1	12	1.0
132	14	67.20~68.00	0.80	0.1	25	0.7
133	15	69.60~70.60	1.00	0.3	2	1.4
134	16	70.60~71.60	1.00	0.2	3	1.1
135	17	71.60~72.90	1.30	0.1	6	1.6
136	MJA-14B-1	14.40~15.30	0.90	0.3	22	1.7
137	2	29.05~31.00	1.95	0.2	15	2.5
138	3	31.00~32.55	1.55	0.2	13	2.5
139	4	32.55~33.55	1.00	0.9	43	12.4
140	5	33.55~34.55	1.00	4.0	147	4.5
141	6	34.55~38.90	4.35	0.4	17	6.4
142	7	38.90~40.90	2.00	0.3	16	7.0
143	8	40.90~42.90	2.00	0.1	8	1.1
144	9	42.90~45.65	2.75	0.4	19	1.2
145	MJA-15-1	0.00~1.00	1.00	3.1	90	11.1
146	2	1.00~2.00	1.00	3.3	55	12.6
147	3	2.00~3.00	1.00	2.5	51	11.6
148	4	3.00~4.10	1.10	3.3	130	11.1
149	5	4.10~5.60	1.50	1.8	17	2.5
150	6	5.60~7.20	1.60	1.4	14	2.1
151	7	7.20~8.60	1.40	2.4	31	3.6
152	8	8.60~11.20	2.60	1.6	13	2.3
153	9	11.20~13.40	2.20	2.4	38	2.0
154	10	13.40~15.70	2.30	3.2	18	1.5
155	MJA-16-1	11.45~12.80	1.35	0.7	10	3.1
156	2	12.80~13.55	0.75	0.9	56	5.4
157	3	13.55~14.55	1.00	1.7	37	10.4
158	4	14.55~15.35	0.80	0.5	7	18.5
159	5	15.35~16.35	1.00	2.2	47	0.9
160	6	16.35~21.45	5.10	0.4	11	0.7

No.	Numero de Muestra	Profundidad (m)	Longitud de Muestreo (m)	Au (g/t)	Ag (g/t)	Mn (%)
161	MJA-16 -7	21.45~22.45	1.00	0.7	13	1.7
162	8	22.45~23.45	1.00	0.8	6	1.6
163	9	23.45~24.15	0.70	0.5	5	1.4
164	10	24.15~25.50	1.35	0.5	4	2.7
165	MJA-17 -1	2.85~3.85	1.00	4.6	111	6.5
166	2	3.85~4.85	1.00	3.8	81	6.9
167	3	4.85~6.40	1.55	41.4	1150	8.4
168	4	6.40~7.60	1.20	4.8	43	1.8
169	5	7.60~8.85	1.25	4.3	39	3.7
170	6	8.85~9.85	1.00	2.5	60	12.8
171	7	9.85~12.40	2.55	2.9	23	6.8
172	8	12.40~13.30	0.90	4.3	19	1.3
173	9	13.30~16.75	3.45	3.8	17	1.5
174	10	16.75~18.75	2.00	7.4	20	1.0
175	11	18.75~20.70	1.95	2.1	17	1.6

No	Numero de Muestra	Potencia real (m)	Au (g/t)	Ag (g/t)	Mn (%)
176	F-302	2.5	0.68	21	6.6
177	F-303	3.5	0.64	3	4.7
178	F-304	2.0	0.76	8	11.1
179	F-305	2.0	0.6	4	10.4
180	F-306	2.0	3.1	63	12.0
181	F-307	2.0	3.7	92	5.0
182	F-308	2.0	1.4	46	11.0
183	F-309	2.0	1.4	69	7.8
184	F-310	0.6	5.9	29	6.1
185	F-311	0.4	2.3	23	5.1
186	F-312	1.5	2.7	54	2.6
187	F-313	0.4	3.3	42	3.4
188	F-314	2.5	5.4	14	3.0
189	F-315	0.4	1.9	21	2.7
190	F-316	2.6	0.28	6	1.4
191	F-317	1.4	1.1	40	8.8
192	F-318	1.6	0.48	14	2.2
193	F-319	1.6	3.5	295	11.4
194	F-320	1.5	5.0	117	6.5
195	F-321	1.0	1.5	128	16.5
196	F-322	1.6	2.1	165	10.1
197	F-323	2.0	0.56	10.4	3.0
198	F-324	1.6	1.3	28.2	8.2
199	F-325	2.0	0.6	20.7	2.7
200	F-326	1.6	2.7	257	7.0
201	F-327	1.3	0.56	40	2.3
202	F-328	2.0	2.8	56.4	3.7
203	F-329	1.0	0.56	25	1.0
204	F-330	2.0	2.2	73	0.9
205	F-331	1.4	0.8	6.6	1.1
206	F-332	2.0	3.0	50	1.0
207	F-333	1.8	0.3	8.1	1.4
208	F-334	1.6	1.9	39	6.1

No	Numero de Muestra	Potencia real (m)	Au (g/t)	Ag (g/t)	Mn (%)
209	F-335	1.8	0.64	26	0.9
210	F-336	1.5	2.9	34	4.5
211	F-337	2.0	0.2	6.6	2.0
212	F-338	2.0	4.9	28	4.6
213	F-339	2.4	0.32	7.9	3.7
214	F-340	2.2	1.3	23	4.4
215	F-341	1.2	0.6	24	5.1
216	F-342	2.4	2.6	44	6.2
217	F-343	2.8	1.7	50	4.3
218	F-344	2.2	4.2	4.5	5.9
219	F-345	2.0	0.48	20	2.2
220	F-346	1.0	3.0	49	6.3
221	F-347	2.2	0.6	9.1	1.8
222	F-348	2.2	0.52	21	3.0
223	F-349	1.5	1.0	58	6.8
224	F-350	2.0	2.4	89	3.0
225	F-351	2.0	1.4	182	8.9
226	F-352	2.0	5.9	107	4.5
227	F-353	2.0	1.0	111	6.6
228	F-354	1.3	0.56	14.5	3.4
229	F-355	2.6	4.3	128	6.2
230	F-356	1.2	3.9	57	3.1
231	F-357	3.2	4.2	316	10.1
232	F-358	2.0	2.5	167	16.3
233	F-359	2.0	1.3	46	6.9
234	F-360	1.8	2.3	190	11.5
235	F-361	2.0	4.6	142	11.2
236	F-362	2.4	1.2	100	12.3
237	F-363	2.0	3.5	21	13.0
238	F-364	2.2	3.1	29	5.0
239	F-365	2.0	4.2	36	14.7
240	F-366	2.4	4.6	31	6.0
241	F-367	2.0	4.0	31	18.4

No	Numero de Muestra	Potencia real (m)	Au (g/t)	Ag (g/t)	Mn (%)
242	F-368	2.2	2.1	32	8.2
243	F-369	2.0	4.4	62	17.4
244	F-370	1.6	4.4	23	5.8
245	F-371	2.0	1.0	108	14.6
246	F-372	2.2	2.6	73	3.4
247	F-373	2.0	3.5	161	6.7
248	F-374	2.2	1.6	167	2.5
249	F-375	2.0	4.9	38	2.7
250	F-376	3.0	3.2	138	3.9
251	F-377	3.0	28.9	1503	13.1
252	F-378	1.2	0.32	14	1.7
253	F-379	3.0	2.2	112	7.0
254	F-380	1.4	2.6	92	4.1
255	F-381	2.6	2.2	261	5.4
256	F-382	2.0	1.7	12	3.3
257	F-383	2.6	5.0	43	3.6
258	F-384	2.0	18.1	114	6.4
259	F-385	2.4	5.0	34	6.6
260	F-386	1.8	0.28	14	1.7
261	F-387	2.0	3.0	59	3.8
262	F-388	2.4	1.6	55	3.3
263	F-389	2.6	6.0	85	3.3
264	F-390	1.6	2.4	37	3.4
265	F-391	3.6	2.8	34	6.5
266	F-392	1.0	1.6	38	3.2
267	F-393	3.0	2.8	41	7.8
268	F-394	1.0	1.8	10	3.4
269	F-395	2.5	19.4	87	7.8
270	F-396	1.0	3.4	46	7.1
271	F-397	1.5	6.8	69	4.9
272	F-398	1.8	2.4	29	3.1
273	F-399	2.0	8.3	43	11.3
274	F-400	2.4	8.1	111	6.3

No.	Numero de Muestra	Potencia real (m)	Au (g/l)	Ag (g/l)	Mn (%)
275	F-401	2.0	4.0	44	5.2
276	F-402	1.8	2.8	134	9.4
277	F-403	2.0	2.1	82	8.5
278	F-404	1.4	4.8	82	9.3
279	F-405	2.0	8.4	135	16.1
280	F-406	2.0	5.0	82	13.5
281	F-407	2.0	1.0	114	10.4
282	F-408	2.2	0.9	28	5.6
283	F-409	1.7	2.2	38	3.2
284	F-410	1.8	1.1	20	2.4
285	F-411	1.5	1.1	14	2.4
286	F-412	1.5	0.8	26	2.4
287	F-413	1.5	2.3	26	6.4
288	F-414	2.0	0.8	12	4.0
289	F-415	2.0	0.9	50	3.2
290	F-416	2.0	1.0	26	3.2
291	F-417	2.0	9.0	38	0.8
292	F-418	1.0	6.2	100	19.2
293	F-419	2.0	0.4	20	0.8
294	F-420	1.6	6.2	184	12.8
295	F-421	1.6	3.2	74	17.6
296	F-422	2.0	1.1	36	11.2
297	F-423	2.8	1.8	26	12.8
298	F-424	2.0	2.3	74	7.2
299	F-425	2.4	4.8	53	13.6
300	F-426	2.0	1.7	98	17.6
301	F-427	2.0	10.8	47	6.4
302	F-428	2.0	3.7	34	20.0
303	F-429	2.4	2.6	79	12.8
304	F-430	2.0	10.0	189	15.4
305	F-431	2.3	2.1	164	12.6
306	F-432	2.0	0.3	53	14.2
307	F-433	2.4	0.5	57	10.2

No.	Numero de Muestra	Potencia real (m)	Au (g/t)	Ag (g/t)	Mn (%)
308	F-434	2.0	5.0	35	9.9
309	F-435	2.4	2.5	80	6.3
310	F-436	2.0	3.8	30	3.6
311	F-437	2.4	1.9	33	12.8
312	F-438	2.0	3.7	24	14.1
313	F-439	2.5	2.8	26	13.2
314	F-440	1.5	1.1	38	6.3
315	F-441	3.5	1.1	28	6.5
316	F-442	2.5	11.7	158	2.6
317	F-443	3.0	1.1	40	9.3
318	F-444	2.0	2.4	16	3.2
319	F-445	2.5	9.3	62	4.0
320	F-446	2.0	0.3	8	4.4
321	F-447	1.6	1.7	248	5.0
322	F-448	2.0	0.7	14	1.3
323	F-449	1.4	2.8	26	18.9
324	F-450	2.0	1.0	6	13.7
325	F-451	1.0	2.2	52	0.6
326	F-452	2.0	0.5	16	5.7
327	F-453	1.0	4.1	58	0.8
328	F-454	2.0	0.4	24	13.3
329	F-455	0.8	4.8	32	4.7
330	F-456	0.5	2.4	74	6.7
331	F-457	0.5	4.9	120	3.6
332	F-458	0.5	2.0	76	8.7
333	F-459	0.5	3.3	509	10.5
334	F-460	0.5	1.6	117	6.3
335	F-461	0.5	1.3	40	8.1
336	F-462	0.8	1.3	38	140
337	F-463	0.7	0.9	26	13.2
338	F-464	0.5	1.2	51	16.5
339	F-465	1.3	4.8	46	15.0
340	F-466	1.5	1.9	236	11.4

No.	Numero de Muestra	Potencia real (m)	Au (g/l)	Ag (g/l)	Mn (%)
341	F-467	2.0	6.0	96	13.9
342	F-468	1.2	1.1	19	4.0
343	F-469	2.2	5.2	68	18.2
344	F-470	1.2	1.4	77	8.5
345	F-471	2.4	6.8	57	11.2
346	F-472	1.5	3.7	58	10.8
347	F-473	3.0	3.0	42	11.8
348	F-474	1.5	3.1	30	1.5
349	F-475	2.2	0.5	46	20.2
350	F-476	0.8	2.5	88	27.0
351	F-477	2.1	6.8	104	20.5
352	F-478	2.0	2.2	66	20.0
353	F-479	2.2	1.9	88	15.7
354	F-480	2.0	1.0	46	21.2
355	F-481	2.3	14.2	122	20.1
356	F-482	2.0	4.2	172	19.0
357	F-483	2.2	3.8	154	18.6
358	F-484	2.0	3.0	84	19.2
359	F-485	2.0	9.0	1300	16.0
360	F-486	2.0	5.4	192	17.0
361	F-487	2.4	8.6	670	7.6
362	F-488	2.0	7.6	128	10.5
363	F-489	2.2	3.6	244	6.3
364	F-490	2.0	3.5	68	12.2
365	F-491	2.2	2.2	102	6.0
366	F-492	2.0	3.4	106	15.6
367	F-493	2.2	3.9	288	9.0
368	F-494	2.0	1.6	122	11.4
369	F-495	2.2	11.8	1650	6.7
370	F-496	2.0	6.0	122	10.2
371	F-497	2.1	7.7	211	12.1
372	F-498	2.0	2.8	37	7.8
373	F-499	2.2	4.0	110	10.0

No.	Numero de Muestra	Potencia real (m)	Au (g/t)	Ag (g/t)	Mn (%)
374	F-500	2.0	37.9	338	14.7
375	F-501	2.0	4.3	23	7.7
376	F-502	2.0	5.6	77	14.8
377	F-503	2.0	1.0	9	3.0
378	F-504	2.0	1.3	61	20.2
379	F-505	1.9	1.7	16	5.3
380	F-506	2.0	3.4	50	11.4
381	F-507	2.2	2.5	58	11.2
382	F-508	2.0	1.4	68	16.7
383	F-509	2.1	2.1	50	9.9
384	F-510	2.0	2.2	49	12.1
385	F-511	2.0	7.4	139	7.6
386	F-512	2.0	11.3	75	5.9
387	F-513	1.4	7.0	152	17.1
388	F-514	2.0	3.2	52	7.7
389	F-515	1.4	6.8	68	2.2
390	F-516	2.0	2.3	31	2.3
391	F-517	1.4	7.4	25	1.3
392	F-518	2.0	2.5	62	6.3
393	F-519	1.5	4.9	98	0.2
394	F-520	2.0	1.6	27	4.0
395	F-521	1.5	3.6	211	12.1
396	F-522	2.2	8.4	181	7.4
397	F-523	2.0	3.2	32	7.0
398	F-524	2.0	9.8	241	6.3
399	F-525	1.5	4.2	54	11.5
400	F-526	2.5	19.2	390	2.5
401	F-527	1.5	6.7	113	3.1
402	F-528	3.0	0.7	43	5.2
403	F-529	2.5	1.3	35	12.6
404	F-530	2.0	0.9	11	3.8
405	F-531	2.4	1.8	131	8.3
406	F-532	2.0	0.6	7	9.1

No.	Numero de Muestra	Potencia real (m)	Au (g/t)	Ag (g/l)	Mn (%)
407	F-533	2.0	4.0	27	6.8
408	F-534	2.0	0.2	6	3.7
409	F-535	2.0	2.4	101	3.8
410	F-536	2.0	3.4	37	1.4
411	F-537	1.7	6.4	56	13.8
412	F-538	2.0	0.1	3	1.4
413	F-539	1.7	2.0	40	17.6
414	F-540	2.0	0.6	5	0.8
415	F-541	1.2	0.7	23	11.4
416	F-542	3.0	0.1	4	9.8
417	F-543	1.5	5.0	45	10.5
418	F-544	2.5	0.8	8	1.5
419	F-545	1.5	3.9	38	8.3
420	F-546	2.5	2.4	20	17.4
421	F-547	1.5	2.5	19	18.1
422	F-548	2.5	4.4	44	3.5
423	F-549	2.0	7.2	46	4.8
424	F-550	2.0	1.4	36	10.1
425	F-551	1.6	2.4	18	10.1
426	F-552	2.5	7.6	62	10.1
427	F-553	1.8	2.9	14	8.2
428	F-554	2.5	3.3	48	7.8
429	F-555	2.5	4.0	36	9.0
430	F-556	2.0	1.7	32	6.7
431	F-557	2.5	2.7	22	7.5
432	F-558	2.0	2.1	32	6.6
433	F-559	2.5	0.4	8	0.9
434	F-560	2.0	2.8	15	5.6
435	F-561	2.5	1.5	49	8.3
436	F-562	2.0	3.1	38	6.9
437	F-563	2.2	1.0	34	8.5
438	F-564	2.0	16.0	54	9.9
439	F-565	3.0	1.4	26	3.8

No.	Numero de Muestra	Potencia real (m)	Au (g/l)	Ag (g/l)	Mn (%)
440	F-566	2.5	3.0	24	5.3
441	F-567	2.5	1.0	14	1.6
442	F-568	1.0	0.9	47	12.4
443	F-569	1.5	2.5	48	9.2
444	F-570	1.8	4.0	59	9.6
445	F-571	2.0	5.9	53	20.3
446	F-572	2.2	8.8	46	11.2
447	F-573	2.5	1.4	34	13.2
448	F-574	2.5	1.5	40	10.5
449	F-575	2.5	1.8	78	15.1
450	F-576	2.2	2.3	121	16.5
451	F-577	2.2	1.3	76	17.4
452	F-578	2.0	0.8	78	12.5
453	F-579	2.3	2.5	237	17.8
454	F-580	2.0	0.5	72	14.2
455	F-581	2.3	5.8	684	15.1
456	F-582	2.0	1.0	73	12.6
457	F-583	2.4	8.9	473	8.8
458	F-584	2.0	3.4	91	11.2
459	F-585	2.4	1.7	99	2.2
460	F-586	2.0	0.2	64	12.7
461	F-587	2.3	0.8	63	13.1
462	F-588	2.0	0.6	77	11.9
463	F-589	2.2	1.5	107	13.8
464	F-590	2.0	2.3	73	8.7
465	F-591	2.2	5.2	180	16.7
466	F-592	2.0	1.7	85	10.2
467	F-593	2.0	6.0	200	9.1
468	F-594	2.0	5.8	72	6.6
469	F-595	2.0	3.7	210	10.7
470	F-596	2.0	3.2	76	10.4
471	F-597	2.3	5.1	90	9.3
472	F-598	2.0	1.5	6	2.4

No	Numero de Muestra	Potencia real (m)	Au (g/t)	Ag (g/t)	Mn (%)
473	F-599	2.0	1.7	20	6.6
474	F-600	2.0	12.0	200	7.8
475	F-601	2.0	0.5	8	2.1
476	F-602	2.3	3.4	120	6.1
477	F-603	2.3	3.1	24	4.5

